

д. чл. С. Н. БРИТВИН,* д. чл. Н. В. ЧУКАНОВ,** Г. К. БЕКЕНОВА,*** М. А. ЯГОВКИНА,****
А. В. АНТОНОВ,***** А. Н. БОГДАНОВА,***** д. чл. Н. И. КРАСНОВА*

КАРЧЕВСКИЙ $[Mg_{18}Al_9(OH)_{54}] [Sr_2(CO_3PO_4)_9(H_2O, H_3O)_{11}]$ — НОВЫЙ МИНЕРАЛ ИЗ СЕМЕЙСТВА СЛОЙСТЫХ ДВОЙНЫХ ГИДРОКСИДОВ¹

S. N. BRITVIN, N. V. CHUKANOV, G. K. BEKENOVA, M. A. YAGOVKINA, A. V. ANTONOV,
 A. N. BOGDANOVA, N. I. KRASNOVA. KARCHEVSKYITE
 $[\text{Mg}_{18}\text{Al}_6(\text{OH})_{54}][\text{Sr}_2(\text{CO}_3,\text{PO}_4)_6(\text{H}_2\text{O},\text{H}_3\text{O})_{11}]$ — A NEW MINERAL IN FAMILY
 OF LAYERED DOUBLE HYDROXIDES

* Геологический факультет Санкт-Петербургского государственного университета, 199034, Санкт-Петербург, Университетская наб., 7/9; e-mail: sbrtvin@gmail.com
 ** Институт химической физики РАН, 142432, Черноголовка Московской обл.

*** Институт химической физики РАН, 142432, Черноголовка Московской обл.
*** Институт геологии им. К. И. Саппаева, 480100, Казахстан, Алматы, ул. Кабанбай-Батыра, 69а
**** Физико-технический институт РАН им. А. Ф. Иоффе

**** Физико-технический институт РАН им. А. Ф. Иоффе,
194021, Санкт-Петербург, Политехническая улица, 26

***** Центр изотопных исследований, Всероссийский геологический институт (ВСЕГЕИ),

Санкт-Петербург, В. О., 21-я линия

***** Геологический институт КНЦ РАН, 184200, Анапа

Karchevskite, a new mineral related to family of layered double hydroxides (LDH), has been found in Zhelezny open-pit mine at Kovdor carbonatite massif (Kola Peninsula, Russia). It forms spherulites, up to 1.5 mm in diameter, composed of thin bended platelets. Associated minerals are dolomite, magnetite, quintinite-37 and strontium carbonate-fouerapatite. Karchevskite is white in aggregates and colorless in loose platelets. Luster vitreous with pearly shine on cleavage surfaces. Non-fluorescent. Mohs' hardness 2. Cleavage perfect (micaceous) by {001}. D_{meas} 2.21(2), D_{calc} 2.18(1) g/cm³. The mineral colorless and non-plochoiroic in immersion liquids. Uniaxial, negative, ω 1.542(2), e 1.534(2). Chemical composition, wt % (average of 10 electron microprobe analyses, H₂O by difference, standard deviation in parentheses): MgO 29.7(1.1), Al₂O₃ 18.3(0.7), SrO 7.4(0.4), CaO 0.2(0.1), P₂O₅ 1.3(0.2), CO₂ 14.5(0.4), H₂O 28.6, total 100.0. Empirical formula based on Al = 9: Mg_{18.00}Al_{9.00}(OH)_{54.00}(Sr_{1.79}Mg_{0.48}Ca_{0.09})_{2.36}(CO₃)_{8.26}(PO₄)_{0.46}(H₂O)_{6.54}(H₃O)_{4.18}. Ideal formula [Mg₁₈Al₉(OH)₅₄][Sr₂(CO₃, PO₄)₉(H₂O, H₃O)₁₁]. Slowly dissolves in 10 % HCl with weak effervescence. Trigonal, $P\bar{3}$, $P\bar{3}1m$, $P\bar{3}1m$, $P\bar{3}12$, $P\bar{3}21$, $P\bar{3}m1$ or $P\bar{3}1m$; a 16.055(6), c 25.66(1) Å, V 5728(7) Å³, Z = 3. Strongest lines of powder diffraction pattern [d (l)/ h (k l)]: 8.52(10)(003), 6.41(4)(004), 5.13(3)(005), 4.27(6)(006), 3.665(9)(007), 3.547(9)(107), 3.081(6)(315). IR-spectrum (s — shoulder): 3470, 3420s, 3035, 2960s, 1650, 1426, 1366, 1024, 937, 860, 779, 678, 615s, 553, 449, 386 cm⁻¹. TGA: total weight loss 42.0 wt %, with three stages of loss: 12.2 %, max. rate at 230 °C, 6.1 %, max. rate at 320 °C, 23.7 %, max. rate at 440 °C. Late stage hydrothermal mineral. It is named in memory for Pavel Karchevsky (1976—2002), Russian mineralogist, for his contributions to study of carbonatite massifs. Type material is deposited at the Mineralogical Museum of Department of Mineralogy in the Saint-Petersburg State University, Universitetskaya Nab. 7/9, 199034, St. Petersburg, Russia, and in Fersman Mineralogical Museum of the Russian Academy of Sciences, Moscow.

Введение. Слоистые двойные гидроксиды — обширное семейство соединений, объединяющее представителей близких групп минералов — гидроталькита, манассита, квинтиниита, вудвардита (Strunz, Nickel, 2001) и большое количество их синтетических аналогов. Топология их структур определяется наличием гидроксидных слоев (пакетов) общего вида $[(M_{1-x}M_x^{3+})(OH)_2]^{x+}$, производных от аналогичных структурных единиц $[M^{2+}(OH)]_2$ минералов группы брусита. В брусите и его аналогах все катионы M^{2+} двухвалентны, поэтому общий заряд гидроксидных слоев скомпенсирован (нулевой), а межслоевое взаимодействие поддерживается за счет водородных связей. Но в слоистых двойных гидроксидах часть двухвалентных катионов в гидроксидных слоях замещена трехвалентными (Al^{3+} или ионы металлов от V^{3+} до Ni^{3+}), в результате

¹ Рассмотрено и рекомендовано к опубликованию Комиссией по новым минералам ВМО 21 марта 2005 г., утверждено Комиссией по новым минералам и названиям минералов MMA 30 июня 2005 г.

чего пакеты приобретают внедрением в межслоевое. Таким образом формируют ся гидроксидных пакетов .ния внутри пакетов приво- ное распределение катион В то же время в межслоево а также молекулы воды и р го расстояния. При этом ре вием чего является появление многообразие рассматрива сотнями наименований (см Prinetto e. a., 2000; Khan, O данных работах).

В настоящей статье мы
относящийся к слоистым д-
гов среди соединений дан-
рудах Ковдорского железо-
чевском (1976—2002), рус-
бонатитовых комплексов (•)
части голотипного образца
нералогии Санкт-Петербург-
ском музее им. А. Е. Ферс-

Ассоциация и физическая
натит-фоскоритовый компо-
нент в ряде монографий и обзо-
ров (Zaitsev, 2004; Карчевский,
разрабатываемых на магнит-
(Флогопитовый карьер).

Карчевскийнит был встре-
лезному руднике, организо-
(F. Wall) летом 1999 года. Н-
вой (так называемой «анон-
ициации, приуроченной к ну-
ром до 5—6 см) сложены из
ломита розового цвета, а т.
Следующим по распространению
бесцветные дискообразные
тый стронцием карбонат-ф-
стоящих из мелких гексаго-

Карчевскиит образует с искривленными пластинчатыми очертаниями. Отдельные перламутровым блеском на дость по Моосу ~ 2. Как пр срастания карчевскиита и толщина мономинеральных оснований рентгеновских и в веществе сферолитов со до 0.1 мм, представлена об произвести определение он

В иммерсионных препаратах (-), часто аномально движущихся, мерялась под микроскопом

ЧОВА, *** М. А. ЯГОВКИНА, ***
чл. Н. И. КРАСНОВА*

$\text{PO}_4)_9(\text{H}_2\text{O}, \text{H}_3\text{O})_{11}$ — ДЕЙСТВА ОКСИДОВ¹

YAGOVKINA, A. V. ANTONOV,
CHEVSKYITE
/ MINERAL IN FAMILY
XIDES

дарственного университета,
e-mail: sbrtvin@gmail.com
ноглавка Московской обл.
Алматы, ул. Кабанбай-Батыра, 69а
м. А. Ф. Иоффе,
ская улица, 26
гический институт (ВСЕГЕИ),
ния
параты, ул. Ферсмана, 14

ydroxides (LDH), has been found in Zhe-sia). It forms spherulites, up to 1.5 mm in size, in dolomite, magnetite, quintinite-3T and quartz and colorless in loose platelets. Luster is metallic, hardness 2. Cleavage perfect (micaceous) and non-pleochroic in immersion liquids. Density (average of 10 electron microprobe analyses) 29.7(1.1), Al_2O_3 18.3(0.7), SrO 7.4(0.4), empirical formula based on $\text{Al} = 9$: $\text{Mg}_{18.00}\text{Al}_9(\text{OH})_{54}$. Ideal formula $[\text{Mg}_{18}\text{Al}_9(\text{OH})_{54}]$. Weak effervescence. Trigonal, $P\bar{3}$, $P\bar{3}$, $P\bar{3}1m$, $a = 13.7$ Å, $Z = 3$. Strongest lines of powder pattern: 4.27(3)(005), 4.27(6)(006), 3.665(9)(007), 3.035, 3035, 2960s, 1650, 1426, 1366, 1024, loss 42.0 wt %, with three stages of loss: 1st rate at 440 °C. Late stage hydrothermal Russian mineralogist, for his contributions to geological Museum of Department of Mines, 7/9, 199034, St. Petersburg, Russia, and Moscow.

ширное семейство соединений, в том числе — гидроталькита, манассетита, большое количество их синтетических аналогов. Следует отметить, что наличие гидроксидных слоев в карбонатных от аналогичных структурных единиц в борусите и его аналогах все катионы, находящиеся в гидроксидных слоях скомпенсированы за счет водородных связей. Взаимодействие катионов в гидроксидных слоях (от V^{3+} до Ni^{3+}), в результате

предложено по новым минералам ВМО и названиям минералов MMA

чего пакеты приобретают положительный заряд. Компенсация заряда достигается внедрением в межслоевое пространство различных анионов (CO_3^{2-} , SO_4^{2-} , NO_3^- и др.). Таким образом формируются гибридные структуры, характеризующиеся чередованием гидроксидных пакетов и межслоевых анионных комплексов. Катионные замещения внутри пакетов приводят к разнообразным вариациям их состава, а упорядоченное распределение катионов в них — к возникновению модулированных структур. В то же время в межслоевое пространство могут входить практически любые анионы, а также молекулы воды и ряд крупных катионов, влияющих на величину межпакетного расстояния. При этом реализуются различные варианты упаковки пакетов, следствием чего является появление различных политипов. Все эти факторы обуславливают многообразие рассматриваемых соединений, публикации по которым исчисляются сотнями наименований (см.: Miyata, Kimura, 1973; Miyata, 1975; Miyata, Okada, 1977; Prinetti e. a., 2000; Khan, O'Hare, 2002; Klopdroge e. a., 2002 и ссылки, приводимые в данных работах).

В настоящей статье мы представляем новый минерал карчевскиит (karchevskyite), относящийся к слоистым двойным гидроксидам, однако не имеющий прямых аналогов среди соединений данного семейства. Минерал найден в доломит-магнетитовых рудах Ковдорского железорудного месторождения. Он назван в память о Павле Карчевском (1976—2002), русском минералоге, за его вклад в изучение минералогии карбонатитовых комплексов (Karchevsky, Moutte, 2004; Карчевский, 2005). Равноценные части голотипного образца карчевскиита находятся на хранении в музее кафедры минералогии Санкт-Петербургского государственного университета и в Минералогическом музее им. А. Е. Ферсмана РАН.

Ассоциации и физические свойства. Ковдорский массив — крупнейший карбонатит-фосфоритовый комплекс Кольского полуострова, расположенный в его западной части. Геологическое строение, петрология и минералогия Ковдора рассмотрены в ряде монографий и обзорных статей (Кухаренко и др., 1965; Krasnova, 2001; Wall, Zaitsev, 2004; Карчевский, 2005). Породы массива хорошо обнажены в двух карьерах, разрабатываемых на магнетит, апатит, бадделеит (Железный рудник) и флогопит (Флогопитовый карьер).

Карчевскиит был встречен одним из авторов (С. Б.) во время полевых работ на Железном руднике, организованных по программе ИНТАС А. Н. Зайцевым и Ф. Уолл (F. Wall) летом 1999 года. Минерал обнаружен в глыбе флогопит-доломит-магнетитовой (так называемой «каномальной») руды, в составе поздней гидротермальной ассоциации, приуроченной к пустотам в тонкозернистом доломите. Стенки пустот (размером до 5—6 см) сложены щетками миллиметровых ромбоздрических кристаллов доломита розового цвета, а также блестящими сантиметровыми октаэдрами магнетита. Следующим по распространенности минералом является квинтиниит-3T, образующий бесцветные дискообразные кристаллы до 3 мм в диаметре. Иногда отмечается богатый стронцием карбонат-фторапатит в виде снежно-белых сферолитов до 0.5 мм, состоящих из мелких гексагональных иголок.

Карчевскиит образует сферолиты белого цвета до 1.5 мм в диаметре, сложенные искривленными пластинчатыми кристаллами (рис. 1), иногда имеющими гексагональные очертания. Отдельные пластинки, извлеченные из сферолитов, гибки, бесцветны, с перламутровым блеском на плоскостях весьма совершенной спайности по {001}. Твердость по Моосу ~ 2. Как правило, пластинки представляют собой тончайшие соосные срастания карчевскиита и визуально неотличимого от него квинтиниита-3T, при этом толщина мономинеральных зон карчевскиита достигает нескольких микрон (рис. 2). На основании рентгеновских и микрозондовых данных, среднее содержание карчевскиита в веществе сферолитов составляет 70—80 %. Внешняя зона сферолитов, шириной до 0.1 мм, представлена обычно чистым карчевскиитом. Эта особенность позволила произвести определение оптических свойств карчевскиита и оценить его плотность.

В иммерсионных препаратах карчевскиит бесцветен, без плеохроизма. Одноосный (−), часто аномально двуосен с (−)2V до 20°, n_θ 1.542(2), n_e 1.534(2). Плотность измерялась под микроскопом в проходящем поляризованном свете (в скрещенных ни-

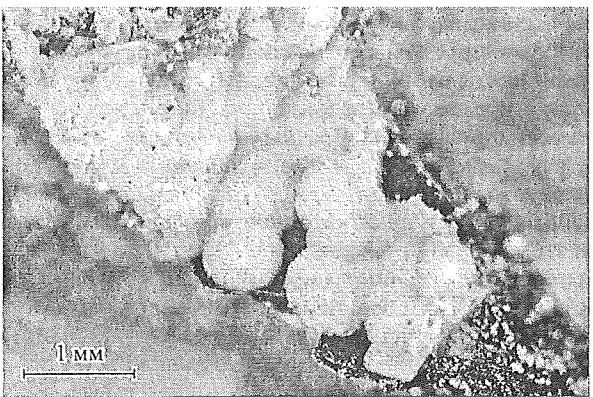


Рис. 1. Сферолиты карчевскиита на грани крупного кристалла магнетита.

Fig. 1. Spherulites of karchevskyite on a face of large magnetite crystal.

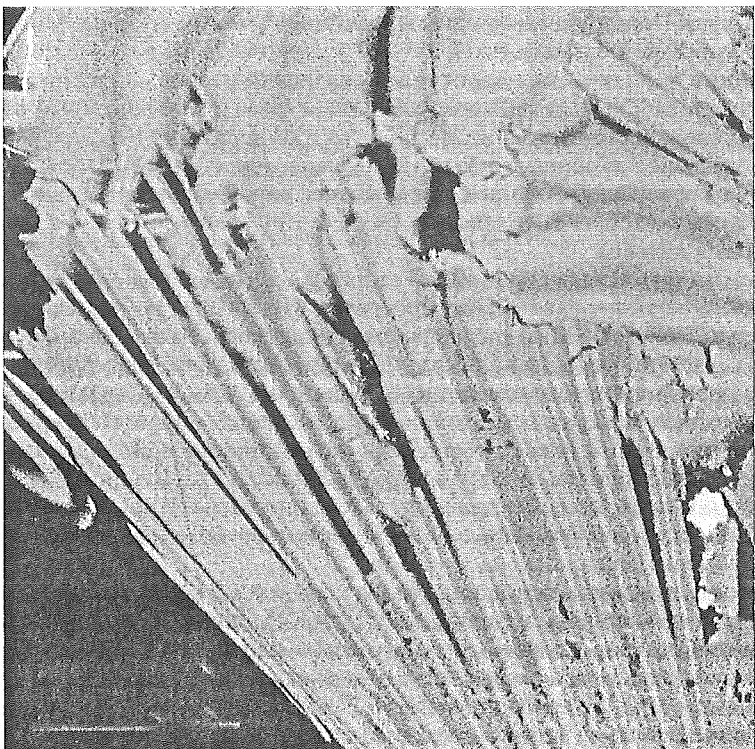


Рис. 2. Внутреннее строение сферолита карчевскиита.

Видны тонкие срастания пластинок карчевскиита (светло-серый) с квинтиниитом-3Т (тёмно-серый). Белое включение справа внизу — стронциевый карбонат-апатит. Фото в обратнорассеянных электронах.

Fig. 2. Internal structure of the karchevskyite spherulite: thin intergrowths of karchevskyite lamellas (*light grey*) with quintinite-3T (*dark grey*); white inclusion on the right below — strontium carbonate-apatite. Back-scattered electron image.

колях) на вырезанных вне тяжелые жидкости (СНВ) плотности, вычисленной прекрасную сходимость (

Химический состав.

полнено микрозондовым определение углерода, по данные ИК-спектроскопии интерпретированы. Для лись две серии анализов табл. 1) получена на энергетерным окном (STPW). В качестве стандартов ис- фторапатит (Са и Р). Сфер сидной смолой; дальнейш зованием водных суспензий (ан. 6—10) проводится углеродом; в качестве (Sr), фторапатит (Са и Р) ускоряющее напряжение

Как видно в табл. 1, со- ношение Mg : Al близко к группе квинтиниита. В со- данными рентгеновского ита наиболее удовлетвори

Химич

Chemical comp

Компо-нент	1	2
MgO	28.7	29.6
Al ₂ O ₃	17.5	18.4
SrO	7.6	7.9
CaO	0.3	0.0
P ₂ O ₅	1.2	1.7
CO ₂	14.7	14.7
H ₂ O	30.0	27.7

Ч	1	2
Mg	18.67	18.31
Al	9.00	9.00
Sr	1.92	1.90
Ca	0.14	0.00
P	0.44	0.60
C	8.76	8.33
H	87.32	76.68

Примечание. Ан. 1—5 — I воды вычислена по разности до 100 принятно среднее значение 14.5 %.



Большой кристалл магнетита.
Large magnetite crystal.



Кристаллы карчевскогоита.
Группы изоморфных выростов карчевскогоита.
Кристаллы карчевскогоита.
Кристаллы карчевскогоита.
Кристаллы карчевскогоита.

колях) на вырезанных внешних зонах пластинок карчевскогоита, методом погружения в тяжелые жидкости ($\text{CHBr}_3-\text{CCl}_4$), и составила $2.21(2)$ г/см³. Это значение близко к плотности, вычисленной на основании рентгеновских данных, — $2.18(1)$ г/см³ и дает прекрасную сходимость (-0.027) по формуле Гладстона-Дэйла (Mandarino, 1979).

Химический состав. Определение химического состава карчевскогоита было выполнено микрозондовым методом (табл. 1). Наибольшую сложность представляло определение углерода, поскольку из-за тонких срастаний минерала с квинтинитом-3Т данные ИК-спектроскопии и термического исследования не могли быть однозначно интерпретированы. Для перекрестной проверки корректности результатов проводились две серии анализов на различных приборах. Первая серия данных (ан. 1—5 в табл. 1) получена на энергодисперсионном комплексе Link INCA с ультратонким полимерным окном (STPW), позволяющим определять элементы, начиная с бора ($Z = 5$). В качестве стандартов использовались квинтинит-2Н (для Mg, Al и C), целестин (Sr), фторапатит (Ca и P). Сферолиты квинтинита наряду со стандартами заливались эпоксидной смолой; дальнейшая обработка включала шлифование и полировку с использованием водных суспензий Al_2O_3 . Анишлиф был покрыт 20 \AA пленкой золота. Вторая серия (ан. 6—10) проведена на приборе Link AN10000 с Ве-окном. Анишлиф напылялся углеродом; в качестве стандартов использованы шинель (для Mg и Al), целестин (Sr), фторапатит (Ca и P). Условия анализа в первой и второй сериях аналогичны: ускоряющее напряжение 20 кВ , ток образца 1 нA , время счета 100 с .

Как видно в табл. 1, состав карчевскогоита в целом весьма стабилен. Атомное соотношение Mg : Al близко к 2 : 1, что типично для упорядоченных структур минералов группы квинтинита. В соответствии с результатами измерения плотности минерала, данными рентгеновского исследования и электронной дифракции, состав карчевскогоита наиболее удовлетворительно рассчитывается на 9 атомов Al в одной формульной

Таблица 1

Химический состав карчевскогоита, мас. % (ан. 1—10)

Chemical composition (wt %) and formula coefficients of karchevskyite

Компонент	1	2	3	4	5	6	7	8	9	10	Среднее значение
MgO	28.7	29.6	28.7	30.0	30.6	29.2	30.8	31.7	28.9	28.6	29.7
Al_2O_3	17.5	18.4	17.3	18.5	18.9	18.0	18.6	19.8	17.8	18.0	18.3
SrO	7.6	7.9	7.5	7.5	8.1	7.5	6.7	6.9	7.1	7.3	7.4
CaO	0.3	0.0	0.0	0.2	0.0	0.3	0.2	0.2	0.3	0.2	0.2
P_2O_5	1.2	1.7	1.5	1.2	1.4	1.1	1.1	1.3	1.1	1.0	1.3
CO_2	14.7	14.7	14.7	14.3	13.9	14.5	14.5	14.5	14.5	14.5	14.5
H_2O	30.0	27.7	30.3	28.3	27.1	29.4	28.1	25.6	30.3	30.4	28.6
Число атомов на формульную единицу (Al=9)											
Mg	18.67	18.31	18.89	18.46	18.43	18.47	18.85	18.23	18.48	18.09	18.48
Al	9.00	9.00	9.00	9.00	9.00	9.00	9.00	9.00	9.00	9.00	9.00
Sr	1.92	1.90	1.92	1.80	1.90	1.84	1.60	1.54	1.77	1.80	1.79
Ca	0.14	0.00	0.00	0.09	0.00	0.14	0.09	0.08	0.14	0.09	0.09
P	0.44	0.60	0.56	0.42	0.48	0.40	0.38	0.42	0.40	0.36	0.46
C	8.76	8.33	8.86	8.06	7.67	8.40	8.13	7.63	8.49	8.40	8.26
H	87.32	76.68	89.21	77.92	73.04	83.20	76.95	65.86	86.71	86.03	79.61

Примечание. Ан. 1—5 — Link ISIS, напыление Au; 6—10 — Link AN1000, напыление углеродом. Содержание воды вычислено по разности до 100 %. Содержание CO_2 в ан. 1—5 определено микрозондовым методом, для ан. 6—10 принято среднее значение 14.5 %.

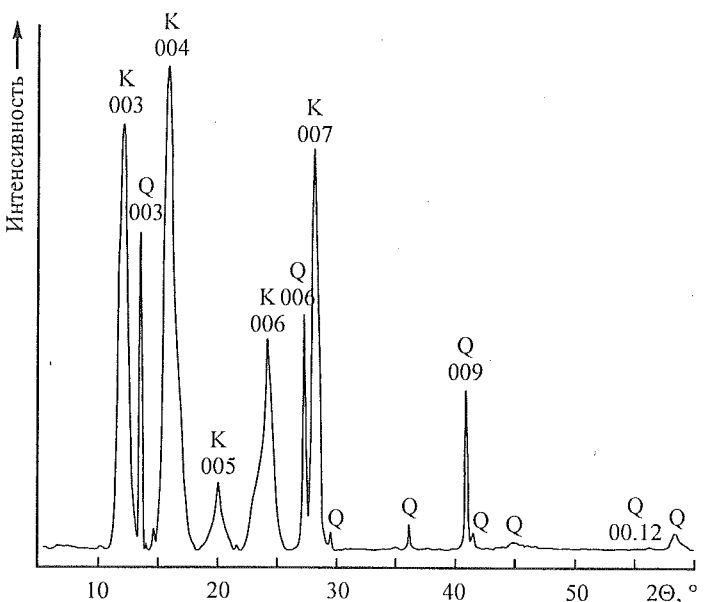


Рис. 3. Дифрактограмма текстурированного по {001} препарата карчевскиита (К) с примесью квинти-та-3Т (Q); CoK_{α} .

Fig. 3. Diffractogram of the textured by {001} specimen of karchevskyite (K) with admixture of quintinite-3T (Q); Co_{K_α} .

единице. При этом «валовая» эмпирическая формула представляется как $Mg_{18.48}Al_{9.00}(Sr_{1.79}Ca_{0.09})_{1.88}(CO_3)_{8.26}(PO_4)_{0.46}(OH)_{49.82}(H_2O)_{14.90}$.

Рентгенография и электронная дифракция. Рентгеновское изучение срастаний карчевскиита и квинтиниита производилось на грубо измельченных (нарезанных) фрагментах пластинок, поскольку даже минимальное, в течение нескольких секунд, растирание вещества в порошок приводит к полному исчезновению дифракционной картины и появлению галоб, типичного для рентгеноаморфных веществ. Дифрактограмма препарата, преимущественно текстурированного по {001}, получена на порошковом дифрактометре Rigaku Geigerflex при следующих условиях съемки: $\text{Co}_{\kappa_{\alpha}}$ -излучение (графитовый монохроматор), 40 кВ, 60 мА, скорость сканирования 1 град/мин (рис. 3). Базальные отражения карчевскиита, показанные на рисунке, представлены серией из пяти рефлексов $[hkl(d, \text{\AA})]$: 003(8.49), 004(6.47), 005(5.14), 006(4.26) и 007(3.67 Å), при этом отражения более низких и более высоких порядков отсутствуют. Относительная интенсивность рефлексов карчевскиита существенно выше интенсивности отражений квинтиниита, что согласуется с преобладанием карчевскиита в изученных сферолитах по данным микрозондовых исследований (рис. 2). В то же время ширина дифракционных максимумов карчевскиита более чем в два раза превосходит ширину рефлексов квинтиниита, что говорит о низкой степени кристалличности минерала.

Серия рентгенограмм порошка минерала (4 рентгенограммы) была получена методом Дебая-Шеррера в камере РКУ-114.6 мм, $\text{Fe}_{k\alpha}$ -излучение (Мп-фильтр), 35 кВ, 20 мА, на беспорядочно ориентированных фрагментах кристаллов, закатанных в резиновые шарики. Линии квинтинита-3T, присутствующие на рентгенограммах, не накладываются на линии карчевскиита; базальные отражения квинтинита-3T [$c = 22.655(5)$ Å, по результатам съемки на дифрактометре] использовались для калибровки в качестве внутреннего стандарта. Усредненные данные по 4 рентгенограммам порошка карчевскиита приведены в табл. 2.

<i>I_{НЭМ}</i>	<i>d_{НЭМ}</i>	<i>d_{выч}</i>	Inte
10	8.52	8.553	
4	6.41	6.415	
3	5.13	5.132	
6	4.27	4.277	
9	3.665	3.666	
9	3.547	3.545	
6	3.081	3.083	
1	2.513	2.512	
1	2.291	2.293	
1	2.232	2.237	
		2.226	
1	2.068	2.066	
1	1.907	1.907	
1	1.765	1.769	
		1.763	
1	1.698	1.701	
		1.701	
		1.699	
		1.698	

Помимо порошковых иссле-
ния монокристальных рентге-
на и квинтиниита, с использованием
массива рефлексов получен на
image plate), условия съемки
59.53°; всего отснято 90 окон
окно. Обработка результатов
(Stoe & Cie GmbH 2003) позво-
лила определить параметры
метрами, отвечающими для
 $c = 22.70(2)$ Å. Однако при по-
ружились наличие дополнитель-
ной ячейке со сверхструктурой.
Еще массив данных был полу-
чен на Bruker Smart 1K (детектор С)
3.19, 56.73°; всего 1212 окон
окно. Полученные рефлексы у-
ячейке, близкой к квинтиниту,
ние в параметрах ячейки, полу-
формированностью и расщеп-
диффузностью рефлексов. Тем-
не сяющиеся к квинтиниту-3T (ме-
жду наиболее сильных отражений
шетки карчевскиита ($d = 8.55$)
расхождение может быть объ-
яснено как видно на дифрактограмме
квинтиниита, для которого угол
ставляет 3—4° (2θ). Таким обра-
зом, ячейка должна быть 6—8° (2θ), и эти д

Таблица 2

Межплоскостные расстояния карчевскиита, Å

Interlayer distances in karchevskyite, Å

$I_{\text{изм}}$	$d_{\text{изм}}$	$d_{\text{выч}}$	hkl	$I_{\text{изм}}$	$d_{\text{изм}}$	$d_{\text{выч}}$	hkl
10	8.52	8.553	003	1	1.661	1.661	2.0.15
4	6.41	6.415	004			1.659	4.2.12
3	5.13	5.132	005	1	1.629	1.630	709
6	4.27	4.277	006			1.630	539
9	3.665	3.666	007			1.627	810
9	3.547	3.545	107	1	1.505	1.507	822
6	3.081	3.083	315			1.506	6.1.12
1	2.513	2.512	423			1.503	556
1	2.291	2.293	319			1.503	4.2.14
1	2.232	2.237	603			1.503	6.0.13
		2.226	520	1	1.476	1.478	5.1.14
1	2.068	2.066	1.1.12			1.477	5.2.13
1	1.907	1.907	622			1.476	824
1	1.765	1.769	618			1.475	2.0.17
		1.763	542	1	1.395	1.396	2.0.18
1	1.698	1.701	619			1.395	7.1.12
		1.701	448			1.394	8.0.11
		1.699	720			1.393	833
		1.698	1.0.15				

Помимо порошковых исследований авторами предпринимались попытки получения монокристалльных рентгеновских данных с двух пластинок-сростков карчевскиита и квинтинита, с использованием двух различных типов дифрактометров. Первый массив рефлексов получен на двухкружном дифрактометре Stoe IPDS-2 (детектор типа image plate), условия съемки — $\text{Mo}_{K\alpha}$ -излучение, 40 кВ, 50 мА, $2\Theta_{\min, \max} = 2.29^\circ, 59.53^\circ$; всего отснято 90 окон с угловой величиной 2° по ω и экспозицией 300 с на окно. Обработка результатов съемки при помощи пакета программ Stoe X-Area (Stoe & Cie GmbH 2003) позволила выявить лишь ромбоэдрическую ячейку с параметрами, отвечающими минимальной ячейке гидроталькита-3R: $a = 3.047(2)$, $c = 22.70(2)$ Å. Однако при построении реконструкций обратного пространства обнаружилось наличие дополнительных слабых рефлексов, соответствующих примитивной ячейке со сверхструктурой квинтинита-3T ($a' = 2a\sqrt{3}$) и параметром $a' = 10.55$ Å. Еще массив данных был получен с другого сростка на двухкружном дифрактометре Bruker Smart 1K (детектор CCD-типа), $\text{Mo}_{K\alpha}$ -излучение, 40 кВ, 50 мА, $2\Theta_{\min, \max} = 3.19^\circ, 56.73^\circ$; всего 1212 окон с угловой величиной 0.3° по ω и экспозицией 120 с на окно. Полученные рефлексы удалось проиндексировать в примитивной тригональной ячейке, близкой к квинтиниту-3T: $a = 11.011(5)$, $c = 22.824(15)$ Å. Большое расхождение в параметрах ячейки, полученных на различных приборах, вызвано, очевидно, деформированностью и расщепленностью кристаллов в сростках и, как следствие, — диффузностью рефлексов. Тем не менее, оба массива содержат лишь рефлексы, относящиеся к квинтиниту-3T (межплоскостное расстояние $d = 7.6$ Å), и не содержат даже наиболее сильных отражений, соответствующих межплоскостному расстоянию решетки карчевскиита ($d = 8.55$ Å) и четко проявленных на дифрактограммах. Данное расхождение может быть объяснено следующей причиной. Рефлексы карчевскиита, как видно на дифрактограмме (рис. 3), значительно более диффузны, чем рефлексы квинтинита, для которого угловая ширина рефлекса при монокристальной съемке составляет $3—4^\circ$ (2Θ). Таким образом, ожидаемая ширина рефлексов карчевскиита должна быть $6—8^\circ$ (2Θ), и эти диффузные рефлексы не регистрируются детекторами

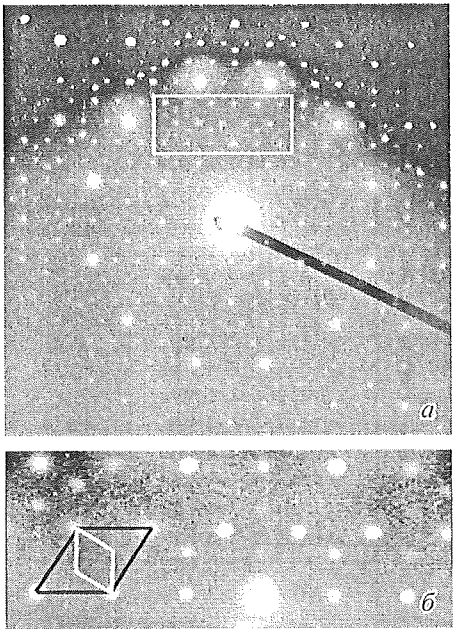


Рис. 4. Микродифракционные электронограммы карчевскиита.

a — микродифракционная электронограмма кристалла карчевскиита, плоскость {001}; *б* — увеличенный фрагмент электронограммы; показаны взаимоотношения обратной ячейки карчевскиита (белый ромб, $a = 16.06 \text{ \AA}$) и утроенной обратной ячейки гидроталькита (черный ромб, $a = 9.27 \text{ \AA}$).

Fig. 4. Electron-microdiffraction pattern (*a*) of a karchevskite crystal, by the (001) plane; magnified fragment of the pattern (*b*) with shown relationship between inverse unit cell of karchevskite (white rhomb, $a = 16.06 \text{ \AA}$) and the triple inverse cell of hydrotalcite (black rhomb, $a = 9.27 \text{ \AA}$).

CCD- и image-plate дифрактометров, имеющими меньший динамический диапазон яркости, чем рентгеновская пленка (камера РКУ-114.6 мм) и детектор сканирующего дифрактометра (Rigaku Geigerflex).

Микродифракционные электронограммы с пластиночками карчевскиита получены на просвечивающем микроскопе EMR-100M при ускоряющем напряжении 100 кВ. На рис. 4 приведена электронограмма, представляющая нулевой слой обратной решетки

ки карчевскиита в плоскости {001}. Интерпретация данных электронной дифракции позволяет сделать вывод, что параметр a ячейки карчевскиита, $16.06 (= 3.09 \times 3 \times \sqrt{3}) \text{ \AA}$, соответствует тройной диагонали бруситовой (= гидроталькитовой) ячейки, в нашем случае $9.27 (= 3.09 \times 3) \text{ \AA}$. Взаимоотношения ячеек показаны на рис. 4, *a*, где обратная ячейка карчевскиита представлена белым ромбом, а тройная обратная ячейка гидроталькита — черным. Таким образом, параметр a ячейки карчевскиита может быть представлен как $a = 3a' \sqrt{3}$, где a' — минимальная (бруситовая) трансляция в плоскости (001), в случае карчевскиита — 3.09 \AA .

Данные электронной дифракции и последовательность базальных рефлексов на рентгенограммах порошка (003, 004, 005, 006, 007) свидетельствуют о том, что карчевскиит кристаллизуется в тригональной сингонии с примитивным типом решетки Бравэ; возможные пространственные группы: $P\bar{3}$, $P3$, $P\bar{3}1m$, $P31m$, $P312$, $P321$, $P\bar{3}m1$, $P\bar{3}m1$. Индицирование рентгенограмм порошка и уточнение параметров решетки методом наименьших квадратов привело к следующим значениям параметров ячейки: $a = 16.055(6)$, $c = 25.66(1) \text{ \AA}$, $V = 5728(7) \text{ \AA}^3$, $Z = 3$.

Термический анализ. Интерпретация данных термического анализа минерала была весьма затруднена его тонкими срастаниями с квинтинилом- $3T$ (рис. 2), в связи с чем термогравиметрический анализ (ТГ) мог дать лишь общую потерю веса, вызванную дегидратацией и декарбонатизацией смеси минералов. Кривая потери веса минерала получена с навески 6.55 мг на термографе М-10 (Институт химической физики РАН). Содержание карчевскиита в навеске оценивалось в 20—30 мас. %, исходя из данных микрозондовых исследований. Прокаливание производилось в атмосфере аргона при скорости нагрева 4 град/мин в диапазоне температур от 50 до 968°C . В целях сравнения было также проведено термическое изучение классического квинтиниита- $2H$ (Железный рудник, Ковдор). Навеска квинтиниита- $2H$ массой 299 мг была представлена чистым минералом состава $(\text{Mg}_{3.83}\text{Fe}_{0.17}^{2+})_{4.00}\text{Al}_2(\text{CO}_3)(\text{OH})_{12}\cdot 3\text{H}_2\text{O}$ (по результатам микрозондового и мокрого химического анализов). Большое количество вещества квинтиниита позволило получить эталонные кривые дифференциального термического (ДТА), дифференциального термогравиметрического (ДТГ) и термогравиметрического (ТГ) анализов. Термические кривые были получены на дериватографе Q-1000D при скорости нагрева 10 град/мин (в воздухе), в диапазоне от 50 до 900°C .

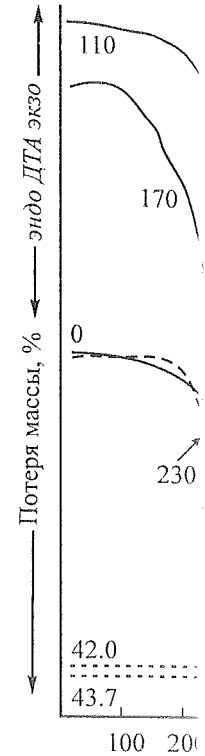


Рис. 5. Термограммы карчевскиита.

Fig. 5. Thermograms of karchevskite.

Количество Fe^{2+} , содержащееся в нагреве, соответствует увеличению мерений. Термограммы карчев

ки. Термограмма квинтиниита массива Монт Сент-Илер (Mont Saint-Hilaire) и соавторы (Stanimirova et al., 2004) введение квинтиниита- $2H$ (называемого Snarum) в Норвегии. Состав «идеального» квинтиниита, $\text{Mg}_{3.83}\text{Fe}_{0.17}^{2+})_{4.00}\text{Al}_2(\text{CO}_3)(\text{OH})_{12}\cdot 3\text{H}_2\text{O}$ идентичен общей потере веса, полученным по минералу из Сент-Илеровского квинтиниита (рисунок Stanimirova et al., 2004). На кривой нагрева. Первый пик — асимметричный, с максимумом при 265°C — соответствует Stanimirova et al., 2004), потере веса при удалении гидроксилиновых групп.

Общая потеря массы у квинтиниита составила 42.0 %, что соответствует 42(1) мас. % в карчевскиите

родифракционные электронограммы карчевскиита.

акционная электронограмма кристалла карчевскиита (001); б — увеличенный фрагмент; показаны взаимоотношения обратной ячейки (белый ромб, $a = 16.06 \text{ \AA}$) и утроенной гидроталькиты (черный ромб, $a = 9.27 \text{ \AA}$).

n-microdiffraction pattern (*a*) of a karchevskite crystal, by the (001) plane; magnified fragment (*b*) with shown relationship between cell of karchevskite (white rhomb, $a = 16.06 \text{ \AA}$) and the triple inverse cell of hydrotalcite (black rhomb, $a = 9.27 \text{ \AA}$).

ге-plate дифрактометров, имеющий динамический диапазон яркого рентгеновской пленка (камера 4 mm) и детектор сканирующего квадрата (Rigaku Geigerflex).

дифракционные электронограммы карчевскиита получены на японском микроскопе EMR-100M с напряжением 100 кВ. На приведена электронограмма, предсказавшая нулевой слой обратной решетки данных электронной дифракции карчевскиита, $16.06 (= 3.09 \times 3 \sqrt{3}) \text{ \AA}$, (гидротальковой) ячейки, в нашем случае на рис. 4, *a*, где обратная тройная обратная ячейка гидротальковой карчевскиита может быть изображена как трансляция в плоскости

ность базальных рефлексов на свидетельствуют о том, что карчевскиит имеет примитивный тип решетки $P\bar{3}1m$, $P31m$, $P312$, $P321$, $P\bar{3}m1$, значение параметров решетки меньше значениям параметров ячейки:

термического анализа минерала квинтинитом-3T (рис. 2), в связи с тем что общую потерю веса, вызванную нагревом. Кривая потери веса минерала (Институт химической физики) показала в 20—30 мас. %, исходя из того что производилось в атмосфере аргона при температуре от 50 до 968° С. В целях проверки классического квинтинита-2H массой 299 мг была предложена формула $(\text{Al}^{2+})_{4.00} \text{Al}_2(\text{CO}_3)(\text{OH})_{12} \cdot 3\text{H}_2\text{O}$ (по результатам анализов). Большое количество полученных кривых дифференциального термического (ДТГ) и термического (ДТА) были получены на дериватографе, в диапазоне от 50 до 900 °С.

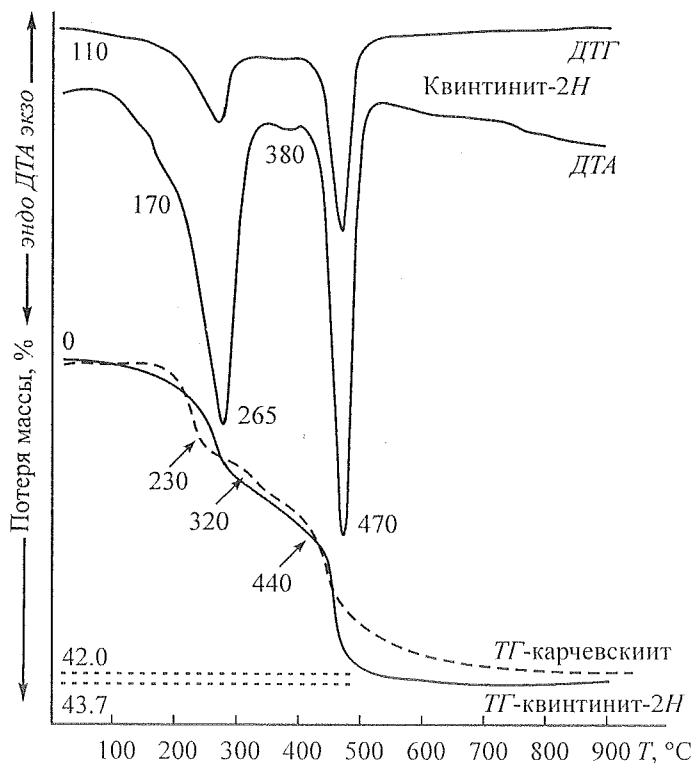


Рис. 5. Термограммы карчевскиита (TG, пунктирная линия) и квинтинита-2H (DTA, DTG и TG, сплошная линия).

Fig. 5. Thermograms of karchevskite (TG, dotted line) and autunitite-2H (DTA, DTG and TG, continuous line).

Количество Fe^{2+} , содержащееся в исходном квинтините-2H и окислившееся в процессе нагрева, соответствует увеличению массы в 0.3 %, что лежит в пределах погрешности измерений. Термограммы карчевскиита и квинтинита-2H приведены на рис. 5.

Термограмма квинтинита-2H была впервые получена на голотипном веществе из массива Монт Сент-Илер (Mont Saint-Hilaire) (Chao, Gault, 1997). Позднее Т. Станимирова и соавторы (Stanimirova e. a., 2004) провели детальное термическое исследование квинтинита-2H (называемого авторами «2:1 гидроталькит») из проявления Снарума (Snarum) в Норвегии. Общее содержание летучих компонентов ($\text{CO}_2 + \text{H}_2\text{O}$) в «идеальном» квинтините, $\text{Mg}_4\text{Al}_2(\text{CO}_3)(\text{OH})_{12} \cdot 3\text{H}_2\text{O}$, составляет 43.9 мас. %, что почти идентично общей потере веса квинтинита из Ковдора (43.7 %) и соответствует данным по минералу из Сент-Илера (42.1 %) и Снарума (42.8 %). Термические кривые ковдорского квинтинита (рис. 5) весьма близки к кривым минерала из Снарума (Stanimirova e. a., 2004). На кривой ДТА проявлены два четких эндотермических максимума. Первый пик — асимметричный, с небольшим плечом при 170 и максимумом при 265 °C — соответствует, согласно исследованиям Т. Станимировой и соавторов (Stanimirova e. a., 2004), потере межслоевой воды ($3\text{H}_2\text{O}$). Следующий пик — симметричный, с максимумом при 470 °C, вызван потерей CO_2 и разрушением бруситовых слоев с удалением гидроксильной воды.

Общая потеря массы у изученного образца карчевскиита с примесью 20—30 % квинтинита составила 42.0 %. Это позволяет сделать вывод, что содержание летучих компонентов в карчевскиите весьма близко их содержанию в квинтините, и величина 42(1) мас. % в карчевскиите отражает реальную сумму $\text{CO}_2 + \text{H}_2\text{O}$ в минерале, позво-

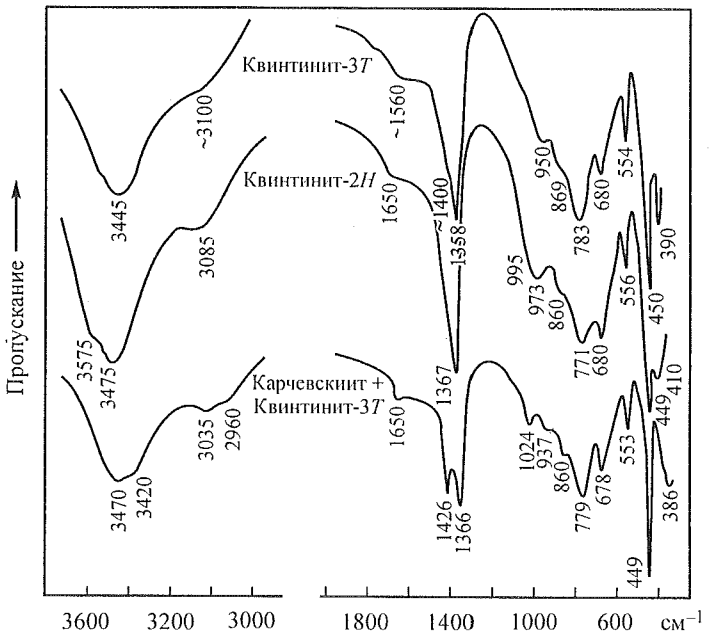


Рис. 6. ИК-спектры поглощения карчевскиита, квинтинита-3Т и квинтинита-2Н.

Fig. 6. IR absorption spectra of karchevskyite, quintinite-3T and quintinite-2H.

ляя утверждать, что результаты микрозондовых анализов являются корректными. В то же время индивидуальный вклад CO_2 и H_2O в потерю массы может быть интерпретирован лишь в сравнении с эталонным квинтиниитом. Как видно на рис. 5, кривые потери массы карчевскиита и квинтиниита очень близки, однако выделение межслоевой воды в карчевскиите начинается при более низкой температуре ($\sim 150^\circ\text{C}$) с максимумом при 230°C . Эта часть кривой соответствует $\sim 12\%$ потери массы. По-видимому, на данной стадии, наряду с H_2O , удаляется и часть CO_2 . Вторая часть ТГ кривой, с максимумом при 320°C , соответствует кривой квинтиниита. Последний участок с максимумом при 440 — 460°C близок к квинтинииту, однако ТГ кривая здесь существенно более пологая. Это выполаживание может быть объяснено выделением CO_2 , вызванным медленным разложением остаточного карбоната стронция.

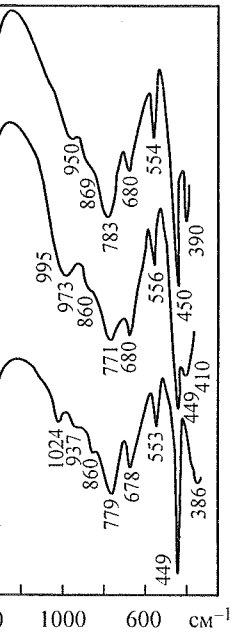
ИК-спектроскопия. Данные по ИК-спектроскопии синтетических Mg-Al-CO₃, слоистых двойных гидроксидов широко представлены в литературе (Hernandez-Moreno e. a., 1985; Prinetto e. a., 2000; Klopogge e. a., 2002, и ссылки, приводимые в данных работах). ИК-спектры природных минералов этого типа также приводятся рядом авторов (Chao, Gaylt, 1997; Stanimirova e. a., 2004). ИК-спектр карчевскиита с примесью квинтиита получен из порошка, запрессованного в таблетку КВг, на сканирующем ИК-спектрометре Specord-75 (рис. 6). Для сравнения приведены также спектры эталонного квинтиита (политипы 2Н и 3Т) из Железного рудника, Ковдор. Как видим, ИК-спектр карчевскиита в целом близок к спектрам квинтиита, однако содержит ряд особенностей, весьма не характерных для этой группы минералов. Наиболее существенное отличие проявляется в появлении сильной и четко выделенной полосы 1426 см⁻¹ в области валентных колебаний карбонат-иона. Полоса в интервале 1410—1440 см⁻¹ характерна для большинства карбонатов, однако в слоистых двойных гидроксидах она всегда смешена в область 1350—1365 см⁻¹, как это видно на спектрах классических квинтинов (рис. 6). Как правило, данная полоса асимметрична, со слабым плечом ~ 1400 см⁻¹, однако явное расщепление наблюдается только у карчевскиита. Этот факт позволяет предположить, что в карчевскиите присутствуют

ют два типа карбонатных ств. Следует также отметить практически идентичен мещенных гидроталькинамикрохимическая реакция легко, с шипением, растворяется в присутствии карбонат-ионов в капле 10%-ной хлорной кислоты $\text{Pb}(\text{NO}_3)_2$. При наличии в растворе нерастворимого в кислоте фосфата, по микрохимическим данным, дублет 1366—1426 см⁻¹ исчезает, однако в нем при этом остается полоса 1024 см⁻¹. Это дублет 3035—2960 см⁻¹, симметричным валентным сдвигом, с понижением симметрии, с присутствием гидрокарбонат-ионов в растворе. Появляются полосы с валентными колебаниями фосфата.

Химическая формула с уверенностью говорят с уверенностью гидроксидам. Очевидно, $Mg/Al = 2$, аналоги представлен как $[Mg_{18}Al_{16}]$ псевдобруситовых пакетов, имеющих ионных радиусов Mg^{2+} и Al^{3+} в пространстве одновременно молекулярная H_2O и, возможно,

Результаты исследований от формы нахождения оксония, эминия $\text{Al}_{9.00}(\text{OH})_{54.00}$][$(\text{Sr}_{1.79}\text{Mg}_0)$ виде — $[\text{Mg}_{18}\text{Al}_9(\text{OH})_{54}]$ — жится в виде HCO_3^- , т. $\text{Mg}_{0.48}\text{Ca}_{0.09}\text{Si}_{2.36}(\text{CO}_3)_{4.08}$][$[\text{Mg}_{18}\text{Al}_9(\text{OH})_{54}]$][$\text{Sr}_2(\text{CO}_3)_3$ — иранта эквивалентны. В лы, с оксонием в межслои проса необходимы даль-

Вне зависимости от карцевского иллюстрирует ряд семейства. Это — первым, ющего карбоната в межсечетание анион + катион ства — минералов группы указанной группы имею межслоевом пространстве карцевского иллюстрации также вызвано и PO_4^{3-} . Сравните лов семейства слоистых ной особенностью карбона представляющего сумму в структуре минерала.



квинтинита-3Т и квинтинита-2Н.
quintinite-3T and quintinite-2H.

ализов являются корректными. Потерю массы может быть интерпретом. Как видно на рис. 5, кривые потери массы, однако выделение межслоевой температуре (~ 150 °C) с максимумом ~ 12 % потери массы. Появление CO₂. Вторая часть ТГ кривой, квинтинита. Последний участок с ТГ кривая здесь существует, что объясняено выделением CO₂, карбоната стронция. Синтетических Mg-Al-CO₃ в литературе (Hernandez-Moreno и ссылки, приводимые в данных таблицах) также приводятся рядом автоспектр карчевскиита с примесью таблетку КВг, на сканирующем изображении приведены также спектры зеленого рудника, Ковдор. Как видно из спектров квинтинита, однако содержит группу минералов. Наиболее ясной и четко выделенной полосы карбонат-иона. Полоса в интервале 150—1365 см⁻¹, как это видно из правила, данная полоса асимметрическое наблюдается только в карчевскиите присутствует

ют два типа карбонатных групп, отличающихся положением в межслоевом пространстве. Следует также отметить, что дублет 1366—1426 см⁻¹ в спектре карчевскиита практически идентичен дублету 1360—1434 см⁻¹, характерному для оксалат-замещенных гидроталькитов (Roelofs e. a., 2002). В связи с этим нами была проведена микрохимическая реакция на C₂O₄²⁻ в минерале. Карчевскиит-квинтинитовые сростки легко, с шипением, растворяются в холодной 10%-ной HClO₄, что свидетельствует о присутствии карбонат-иона. Несколько сферолитов карчевскиита были растворены в капле 10%-ной хлорной кислоты, после чего к раствору добавлялись кристаллики Pb(NO₃)₂. При наличии в растворе оксалат-иона должен был появиться белый осадок нерастворимого в кислотах PbC₂O₄, чего в нашем случае не наблюдалось. Таким образом, по микрохимическим данным оксалат-ион в карчевскиите отсутствует.

Дублет 1366—1426 см⁻¹ — наиболее характерная особенность ИК-спектра карчевскиита, однако в нем присутствует и ряд других полос, не наблюдаемых у квинтинита. Это дублет 3035—2960 см⁻¹, не расщепленный у квинтинита, и четко проявленная полоса 1024 см⁻¹. Эти полосы поглощения могут свидетельствовать о наличии в карчевскиите иона оксония, H₃O⁺. В то же время полоса 1024 см⁻¹ может быть отнесена и к симметричным валентным колебаниям иона CO₃²⁻; в этом случае ее появление связано с понижением симметрии карбонат-иона с D_{3h} до C_{2v} или C_{3v}, что может быть вызвано присутствием гидрокарбоната HCO₃⁻ (Rey e. a., 1992; Klopdroge e. a., 2002). Связь этой полосы с валентными колебаниями иона PO₄³⁻ представляется маловероятной, поскольку содержание фосфора в минерале очень мало.

Химическая формула и структура карчевскиита. Имеющиеся данные позволяют с уверенностью говорить о том, что карчевскиит относится к слоистым двойным гидроксидам. Очевидно, что гидроксидные пакеты в структуре минерала, с соотношением Mg/Al = 2, аналогичны пакетам в структуре квинтинита, их состав может быть представлен как [Mg₁₈Al₉(OH)₅₄]⁹⁻. Вхождение Sr в октаэдрические позиции магния в псевдобруситовых пакетах представляется невероятным, в силу значительного различия ионных радиусов Mg²⁺ (0.75 Å) и Sr²⁺ (1.18 Å). Таким образом, в межпакетном пространстве одновременно находятся Sr²⁺, CO₃²⁻, PO₄³⁻ (либо гидрофосфат-ион), молекулярная H₂O и, возможно, HCO₃⁻ или H₃O⁺.

Результаты исследования допускают два варианта формулы минерала, в зависимости от формы нахождения воды и карбоната в межслоевом пространстве. В случае наличия оксония, эмпирическая формула может быть представлена как [Mg_{18.00}Al_{9.00}(OH)_{54.00}][(Sr_{1.79}Mg_{0.48}Ca_{0.09})_{22.36}(CO₃)_{8.26}(PO₄)_{0.46}(H₂O)_{6.54}(H₃O)_{4.18}], в обобщенном виде — [Mg₁₈Al₉(OH)₅₄][Sr₂(CO₃, PO₄)₉(H₂O, H₃O)₁₁]. Если же часть карбоната содержится в виде HCO₃⁻, то состав межслоевых ионов должен соответствовать [Sr_{1.79}Mg_{0.48}Ca_{0.09})_{22.36}(CO₃)_{4.08}(HCO₃)_{4.18}(PO₄)_{0.46}(H₂O)_{10.72}], а идеализированная формула — [Mg₁₈Al₉(OH)₅₄][Sr₂(CO₃, HCO₃, PO₄)₉(H₂O)₁₁]. С точки зрения баланса зарядов, оба варианта эквивалентны. В настоящее время мы склоняемся к первому варианту формулы, с оксонием в межслоевом пространстве. Однако для окончательного решения вопроса необходимы дальнейшие исследования.

Вне зависимости от того, в каком виде в минерале присутствуют карбонат и вода, карчевскиит имеет ряд особенностей, отличающих его от других соединений данного семейства. Это — первый слоистый двойной гидроксид, в котором помимо доминирующего карбоната в межслоевом пространстве содержится катион (Sr²⁺). До сих пор сочетание анион + катион было известно лишь в структурах сульфатных членов семейства — минералов группы вудвардита (Strunz, Nickel, 2002). При этом все минералы указанной группы имеют сверхструктуры по 001, вызванные упорядочением ионов в межслоевом пространстве. Вероятно, наличие четко выраженной сверхструктуры у карчевскиита также вызвано упорядочением распределения ионов Sr²⁺ и CO₃²⁻, а возможно и PO₄³⁻. Сравнительная характеристика карчевскиита и других Mg-Al минералов семейства слоистых двойных гидроксидов приведена в табл. 3. Другой необычной особенностью карчевскиита является величина межплоскостного интервала d, представляющего сумму толщины гидроксидного пакета и межслоевого промежутка в структуре минерала. Толщина бруситоподобного слоя во всех Mg-Al слоистых

Таблица 3

Сравнительная характеристика карчевскогоита и некоторых близких минералов
Comparative characteristics of karchevskite and some closely related minerals

	Карчевскийит	Мотокореит	Верхланит	Квинтицит-3T	Гидрогранькит
Брусятвый слой	$[\text{Mg}_{18}\text{Al}_9(\text{OH})_{54}]^{9+}$ $[\text{Sr}_2(\text{CO}_3,\text{PO}_4)_6(\text{H}_2\text{O},\text{H}_3\text{O})]^{9-}$	$[\text{Mg}_6\text{Al}_3(\text{OH})_{18}]^{3+}$ $[\text{Na}(\text{SO}_4,\text{CO}_3)_2(\text{H}_2\text{O})]^{3-}$	$[(\text{Mg}_7(\text{Al},\text{Fe})_2(\text{OH})_8]^{2+}$ $[(\text{Ca},\text{Mg})(\text{SO}_4)_2(\text{H}_2\text{O})]^{2-}$	$[\text{Mg}_4\text{Al}_2(\text{OH})_{12}]^{2+}$ $[(\text{CO}_3)_3(\text{H}_2\text{O})]^{2-}$	$[\text{Mg}_{1-\nu}\text{Al}_{\nu}(\text{OH})_2]^{x+}$ $[(\text{CO}_3)_x(\text{H}_2\text{O})_2]^{x-}$
Межслоевые ионы		Rogers c. a., 1977; Rius, Plana, 1986	Moore 1971; Rius, Allmann 1978, 1984	Chao, Gault, 1997	Bellotto c. a., 1996
Ссылка					
Пространственная группа	$P\bar{3}^*$	$\bar{R}\bar{3}m$	$P\bar{3}cl$	$P\bar{3}21, P\bar{3}12$	$R\bar{3}m$
$a, \text{\AA}$	16.06	9.17	9.30	10.56	3.05
$c, \text{\AA}$	25.66	33.51	22.57	22.71	22.77
Z	3	3	2	6	3
Межслоевой интервал $d, \text{\AA}$	8.55	11.17	11.29	7.57	7.59
Отношение параметра a к параметру a' гидрогранькита	$3a'/\sqrt{3}$	$3a'$	$3a'$	$2a'\sqrt{3}$	a'

двойных гидроксидах с...
В карбонатных членах...
межслоевого промежутка...
фективному диаметру м...
сульфатных членов подчи...
чина $d \sim 11.2 \text{ \AA}$ и толщ...
определяющим последни...
тированных ионов натри...
плоскостной интервал d ...
случае должен быть эф...
координационным полиг...
ник $[\text{Sr}(\text{H}_2\text{O})_8]^{2+}$ (Moreau...
также и структурный м...
2005). При этом в двух...
на 5.8 \AA и соответствует...
чем на 2 \AA превосходит...
тельно, стронций в ми...
ных ионов, а должен бы...
ного слоя — либо напрям...
данное предположение...
двойных гидроксидов, в...
зом.

Заключение. Карчевскийит, образовавшийся на поздних стронцием и фосфором поздних минералах хара Самойлов, 1977; Булах, 1982, это обычно в ассоциации с присутствию Sr^{2+} и PO_4^{3-} проявлен в Ковдоре, что включает $\text{Sr}_9\text{Mg}(\text{PO}_3\text{OH})(\text{PO}_4)_3$ и ходка карчевскогоита — это

Авторы признательны...
организацию полевых ра...
скиит. Мы благодарны С...
работа выполнена при...
SCOPES.

Булах А. Г., Иваников В. С., 1982. 240 с.

Карчевский П. И. Сульфаты и натиты Турынского массива. 153 с.

Кухаренко А. А., Орлова Е. И., Ильинский Г. А., Селюк и др. Структура и свойства карбонатитовых пород и карбонатитовых минералов. Недра СССР. Римская-Корсакова О. М. СПб.: Изд-во СПбГУ, 2002. 1

Самойлов В. С. Карбонаты и карбонатиты. Сомина М. Я. Доломиты. 191 с.

Bellotto M., Rebours B., C., 1996. Comparative mineralogy of karchevskite and related minerals // J. Phys. Chem. 1996, v. 100, p. 62–68.

3	7.59	a'
6	7.57	$2d\sqrt{3}$
2	11.29	$3d'$
3	11.17	$3d'$
3	8.55	$3d'\sqrt{3}$
Z	Межслоевой интервал d , Å	Отношение параметра a к параметру a' гидроталькита

двойных гидроксидов составляет $\sim 4.8 \text{ \AA}$, что равно периоду по c в чистом брусите. В карбонатных членах этого семейства $d \sim 7.6 \text{ \AA}$ (табл. 3), следовательно, толщина межслоевого промежутка, занятого CO_3^{2-} и H_2O , равна $\sim 2.8 \text{ \AA}$. Это соответствует эффективному диаметру молекулы воды, который и определяет данную величину. Для сульфатных членов подобных соединений, содержащих межслоевые катионы, величина $d \sim 11.2 \text{ \AA}$ и толщина межслоевого промежутка $\sim 6.4 \text{ \AA}$. При этом условием, определяющим последнюю величину, является наличие в этом пространстве сольватированных ионов натрия или кальция — октаэдров $[\text{M}(\text{H}_2\text{O})_6]$. В карчевскиите межплоскостной интервал $d = 8.55 \text{ \AA}$. Очевидно, что лимитирующим фактором в данном случае должен быть эффективный диаметр гидратированного иона Sr^{2+} . Известно, что координационным полиздром стронция в водных растворах является восьмивершинник $[\text{Sr}(\text{H}_2\text{O})_8]^{2+}$ (Moreau e. a., 2002). Квадратная антипризма $[\text{Sr}(\text{H}_2\text{O})_8]^{2+}$ определяет также и структурный мотив гидрата гидроокиси стронция (Smith, 1953; Ricci e. a., 2005). При этом в двухслойной упаковке $\text{Sr}(\text{OH})_2 \cdot 8\text{H}_2\text{O}$ толщина одного слоя равна 5.8 \AA и соответствует толщине $[\text{Sr}(\text{H}_2\text{O})_8]^{2+}$ в минимальном измерении. Это более чем на 2 \AA превосходит величину межслоевого промежутка в карчевскиите. Следовательно, стронций в минерале не может находиться в форме свободных гидратированных ионов, а должен быть частично координирован ионами кислорода бруситоподобного слоя — либо напрямую, либо посредством мостиковых водородных связей. Если данное предположение верно, то карчевскиит — первый представитель слоистых двойных гидроксидов, в котором гидроксидные слои соединяются подобным образом.

Заключение. Карчевскиит — низкотемпературный гидротермальный минерал, образовавшийся на поздних стадиях формирования карбонатитов из растворов, богатых стронцием и фосфатом при отсутствии сульфат-ионов. Обогащение стронцием поздних минералов характерно для многих карбонатитовых массивов (Сомина, 1975; Самойлов, 1977; Булах, Иванников, 1982; Wall, Zaitsev, 2004; Карчевский, 2005), при этом обычно в ассоциациях доминирует стронцианит. Тенденция к одновременному присутствию Sr^{2+} и PO_4^{3-} в поздних гидротермальных системах в наибольшей степени проявлена в Ковдоре, что отражается в появлении таких минералов, как стронциовит-локит $\text{Sr}_9\text{Mg}(\text{PO}_3\text{OH})(\text{PO}_4)_6$ и настрофит $\text{NaSrPO}_4 \cdot 9\text{H}_2\text{O}$ (Britvin e. a., 1991, 2002). Нахodka карчевскиита — еще одно подтверждение данной закономерности.

Авторы признательны фонду ИНТАС, а также лично А. Н. Зайцеву и Ф. Уолл за организацию полевых работ в Ковдоре, в процессе которых был обнаружен карчевскиит. Мы благодарны С. В. Кривовичеву за консультации в процессе работы. Данная работа выполнена при поддержке Швейцарского научного фонда по программе SCOPES.

Список литературы

- Булах А. Г., Иванников В. В. Проблемы минералогии и петрологии карбонатитов Л.: Изд-во ЛГУ, 1982. 240 с.
- Карчевский П. И. Сульфидная, стронциевая и редкоземельная минерализация фоскоритов и карбонатитов Туринского массива (Россия) и месторождения Люлекоп (ЮАР). СПб.: Изд. дом Коло, 2005. 153 с.
- Кухаренко А. А., Орлова М. П., Булах А. Г., Багдасаров Э. А., Римская-Корсакова О. М., Нефедов Е. И., Ильинский Г. А., Сергеев А. С., Абакумова Н. В. Каледонский комплекс ультраосновных щелочных пород и карбонатитов Кольского полуострова и Северной Карелии. Геология, петрология, минералогия, геохимия. М.: Недра, 1965. 658 с.
- Римская-Корсакова О. М., Краснова Н. И. Геология месторождений Ковдорского массива. СПб.: Изд-во СПбГУ, 2002. 146 с.
- Самойлов В. С. Карбонатиты. Фации и условия образования М.: Наука, 1977. 292 с.
- Сомина М. Я. Доломитовые и анкеритовые карбонатиты Восточной Сибири. М.: Недра, 1975. 191 с.
- Bellotto M., Rebours B., Clause O., Lynch J., Bazin D., Elkaim E. A reexamination of hydrotalcite chemistry // J. Phys. Chem. 1996. Vol. 100. P. 8527—8534.

Britvin S. N., Pakhomovskii Ya. A., Bogdanova A. N., Skiba V. I. Strontiowhitlockite, $\text{Sr}_9\text{Mg}(\text{PO}_3\text{OH})(\text{PO}_4)_6$, a new mineral species from the Kovdor deposit, Kola Peninsula, USSR // Canad. Miner. 1991. Vol. 29. P. 87—93.

Britvin S. N., Ferraris G., Ivaldi G., Bogdanova A. N., Chukanov N. V. Cattiite, $\text{Mg}_3(\text{PO}_4)_2 \cdot 22\text{H}_2\text{O}$, a new mineral from Zhelezny Mine (Kovdor Massif, Kola Peninsula, Russia) // N. Jb. Miner. Monatscheften. 2002. B. 4. P. 160—168.

Chao G., Gaylt R. A. Quintinite-2H, quintinite-3T, charmarite-2H, charmarite-3T and caresite-3T, a new group of carbonate minerals related to the hydrotalcite-manasite group // Canad. Miner. 1997. Vol. 35. P. 1541—1549.

Hernandez-Moreno M. J., Ullbarri M. A., Rendon J. L., Serna C. J. IR characteristics of hydrotalcite-like compounds // Phys. Chem. Miner. 1985. Vol. 12. P. 34—38.

Karchevsky P. I., Moutte J. The phoscorite-carbonatite complex of Vuoriyarvi, northern Karelia // Phoscorites and Carbonatites from Mantle to Mine: the Key Example of the Kola Alkaline Province. Wall F. and Zaitsev A. N. (eds). Cambridge University Press. London, 2004. 498 p.

Khan A. I., O'Hare D. Intercalation chemistry of layered double hydroxides: recent developments and applications // J. Mater. Chem. 2002. Vol. 12. P. 3191—3198.

Klopproge J. T., Wharton D., Hickey L., Frost R. L. Infrared and Raman study of interlayer anions CO_3^{2-} , NO_3^- , SO_4^{2-} and ClO_4^- in Mg/Al hydrotalcite // Amer. Miner. 2002. Vol. 87. P. 623—629.

Krasnova N. I. The Kovdor phlogopite deposit, Kola Peninsula, Russia // Canad. Miner. 2001. Vol. 39. P. 33—44.

Mandarino J. A. The Gladstone-Dale relationship. III. Some general applications // Canad. Miner. 1979. Vol. 17. P. 71—76.

Miyata S. The synthesis of hydrotalcite-like compounds and their structures and physico-chemical properties — I: the systems Mg^{2+} — Al^{3+} — NO_3^- , Mg^{2+} — Al^{3+} — Cl^- , Mg^{2+} — Al^{3+} — ClO_4^- , Ni^{2+} — Al^{3+} — Cl^- and Zn^{2+} — Al^{3+} — Cl^- // Clays and Clay Miner. 1975. Vol. 23. P. 369—375.

Miyata S., Kimura T. Synthesis of new hydrotalcite-like compounds and their physico-chemical properties // Chem. Letters. 1973. P. 843—848.

Miyata S., Okada A. Synthesis of hydrotalcite-like compounds and their physico-chemical properties — the system Mg^{2+} — Al^{3+} — SO_4^{2-} and Mg^{2+} — Al^{3+} — CrO_4^{2-} // Clays and Clay Miner. 1977. Vol. 25. P. 14—18.

Moore P. B. Wermlandite, a new mineral from Långban, Sweden // Lithos. 1971. Vol. 4. P. 213—17.

Moreau G., Heln L., Purans J., Merbach A. E. Structural investigation of aqueous Eu^{2+} ion: comparison with Sr^{2+} using the XAFS technique // J. Phys. Chem. 2002. Vol. A106. P. 3034—3043.

Prinetto F., Ghiootti G., Graffin P., Tichit D. Synthesis and characterization of sol-gel Mg/Al and Ni/Al layered double hydroxides and comparison with co-precipitated samples // Microporous and Mesoporous Mater. 2000. Vol. 39. P. 229—247.

Rey F., Fornes V., Rojo J. M. Thermal decomposition of hydrotalcites. An infrared and nuclear magnetic resonance spectroscopic study // J. Chem. Soc. Faraday Transactions. 1992. Vol. 88. P. 2233—2238.

Ricci J. S., Stevens R. C., McMullan R. K., Klooster W. T. Structure of strontium hydroxide octahydrate, $\text{Sr}(\text{OH})_2 \cdot 8\text{H}_2\text{O}$, at 20, 100 and 200 K from neutron diffraction // Acta cryst. 2005. Vol. B61. P. 381—386.

Rius J., Allmann R. The superstructure of the double layer mineral wermlandite $[\text{Mg}_7(\text{Al}_{0.57}, \text{Fe}_{0.43})(\text{OH})_{18}]^{2+} [(\text{Ca}_{0.6}, \text{Mg}_{0.4})(\text{SO}_4)_2(\text{H}_2\text{O})_{12}]^{2-}$ // Z. Krist. 1984. B. 168. S. 133—144.

Rius J., Allmann R. Structure of wermlandites, $[\text{Mg}_7(\text{Al}, \text{Fe})_2(\text{OH})_{18}]^{2+} [\text{Ca}(\text{H}_2\text{O})_{62}\text{SO}_4\text{H}_2\text{O}]^{2-}$ // Fortschrif. Miner. 1978. B. 56. S. 113—114.

Rius J., Plana F. Contribution to the superstructure resolution of the double layer mineral motukoreaite // N. Jb. Miner. Monatscheften. 1986. Vol. 6. P. 263—272.

Rodgers K. A., Chisholm J. E., Davis R. J., Nelson C. S. Motukoreaite, a new hydrated carbonate, sulfate, and hydroxide of magnesium and aluminum from Auckland, New Zealand // Miner. Mag. 1977. Vol. 41. P. 389—390.

Roelofs J. C. A. A., van Bokhoven J. A., Jos van Dillen A., Geus J. W., de Jong K. P. The thermal decomposition of Mg/Al hydrotalcites: effects of interlayer anions and characteristics of the final structure // Chem. Eur. J. 2000. Vol. 8. P. 5571—5579.

Smith H. G. The crystal structure of strontium hydroxide octahydrate, $\text{Sr}(\text{OH})_2(\text{H}_2\text{O})_8$ // Acta Cryst. 1953. Vol. 6. P. 604—609.

Stanimirova Ts., Piperov N., Petrova N., Kirov G. Thermal evolution of Mg-Al-CO₃ hydrotalcites // Clay Miner. 2004. Vol. 39. P. 177—191.

Strunz H., Nickel E. H. Strunz Mineralogical Tables / Schweizerbart'sche Verlagsbuchhandlung. Stuttgart, 2001. 870 p.

Wall F., Zaitsev A. N. (eds) Phoscorites and Carbonatites from Mantle to Mine: the Key Example of the Kola Alkaline Province Cambridge University Press. London, 2004. 498 p.

Поступила в редакцию
3 мая 2007 г.

© Д. чл. Л. З. РЕЗНИЦКИЙ
д. чл. З. Ф. УШАГОВС

БАТИСИВИТ $V_8\text{Ti}_6[\text{Ba}(\text{Si}_2\text{O}_5)_2]$

L. Z. REZNITSKY, E. V. SKLADSKAYA,
Yu. S. POLEKHOV,
BATISIVITE, $V_8\text{Ti}_6[\text{Ba}(\text{Si}_2\text{O}_5)_2]$

* Институт земных наук

** Берниский ун

*** Силезский ун

**** Каунасский ун

***** Геологический ин

Batisivite has been found as a mineral in the Sludyanka complex in the South of the Kola Peninsula. Associated minerals include sinskite, ankangite, V-bearing titane, dravite-vanadiumdravite, chabazite, beryl, andalusite, and tourmaline. Batisivite forms anhedral grains, showing a fibrous fracture. Color (macroscopic) — light greenish-yellow. VHN (load 30 g) 1220. Mineral has weak anisotropy and a low density ($\rho = 3.05$). Crystallographic parameters: $a = 17.3/16.7, 480$, $c = 17.1/16.5, 500$, $\alpha = 90^\circ$, $\beta = 90^\circ$, $\gamma = 90^\circ$. Space group: $P\bar{3}1$. $d_{10}(hkl)$: 3.09(8)(122), 2.84, 1.432, 1.433(10)(322, 124). Cleavage: $17.6/16.9, 600$, $17.7/17.0, 620$. $18.1/17.4$. Triclinic, space group: $P\bar{1}$. $a = 110.20(1)$, $b = 103.34(1)$, $c = 100.00(1)$, $\alpha = 110.20^\circ$, $\beta = 103.34^\circ$, $\gamma = 100.00^\circ$. $d_{10}(hkl)$: 3.09(8)(122), 2.84, 1.432, 1.433(10)(322, 124). Cleavage: $17.3/16.7, 480$, $17.1/16.5, 500$, $17.6/16.9, 600$, $17.7/17.0, 620$, $18.1/17.4$. Triclinic, space group: $P\bar{1}$. $a = 110.20(1)$, $b = 103.34(1)$, $c = 100.00(1)$, $\alpha = 110.20^\circ$, $\beta = 103.34^\circ$, $\gamma = 100.00^\circ$. $d_{10}(hkl)$: 3.09(8)(122), 2.84, 1.432, 1.433(10)(322, 124). Cleavage: $17.3/16.7, 480$, $17.1/16.5, 500$, $17.6/16.9, 600$, $17.7/17.0, 620$, $18.1/17.4$. Triclinic, space group: $P\bar{1}$. $a = 110.20(1)$, $b = 103.34(1)$, $c = 100.00(1)$, $\alpha = 110.20^\circ$, $\beta = 103.34^\circ$, $\gamma = 100.00^\circ$. $d_{10}(hkl)$: 3.09(8)(122), 2.84, 1.432, 1.433(10)(322, 124). Cleavage: $17.3/16.7, 480$, $17.1/16.5, 500$, $17.6/16.9, 600$, $17.7/17.0, 620$, $18.1/17.4$. Triclinic, space group: $P\bar{1}$. $a = 110.20(1)$, $b = 103.34(1)$, $c = 100.00(1)$, $\alpha = 110.20^\circ$, $\beta = 103.34^\circ$, $\gamma = 100.00^\circ$. $d_{10}(hkl)$: 3.09(8)(122), 2.84, 1.432, 1.433(10)(322, 124). Cleavage: $17.3/16.7, 480$, $17.1/16.5, 500$, $17.6/16.9, 600$, $17.7/17.0, 620$, $18.1/17.4$. Triclinic, space group: $P\bar{1}$. $a = 110.20(1)$, $b = 103.34(1)$, $c = 100.00(1)$, $\alpha = 110.20^\circ$, $\beta = 103.34^\circ$, $\gamma = 100.00^\circ$. $d_{10}(hkl)$: 3.09(8)(122), 2.84, 1.432, 1.433(10)(322, 124). Cleavage: $17.3/16.7, 480$, $17.1/16.5, 500$, $17.6/16.9, 600$, $17.7/17.0, 620$, $18.1/17.4$. Triclinic, space group: $P\bar{1}$. $a = 110.20(1)$, $b = 103.34(1)$, $c = 100.00(1)$, $\alpha = 110.20^\circ$, $\beta = 103.34^\circ$, $\gamma = 100.00^\circ$. $d_{10}(hkl)$: 3.09(8)(122), 2.84, 1.432, 1.433(10)(322, 124). Cleavage: $17.3/16.7, 480$, $17.1/16.5, 500$, $17.6/16.9, 600$, $17.7/17.0, 620$, $18.1/17.4$. Triclinic, space group: $P\bar{1}$. $a = 110.20(1)$, $b = 103.34(1)$, $c = 100.00(1)$, $\alpha = 110.20^\circ$, $\beta = 103.34^\circ$, $\gamma = 100.00^\circ$. $d_{10}(hkl)$: 3.09(8)(122), 2.84, 1.432, 1.433(10)(322, 124). Cleavage: $17.3/16.7, 480$, $17.1/16.5, 500$, $17.6/16.9, 600$, $17.7/17.0, 620$, $18.1/17.4$. Triclinic, space group: $P\bar{1}$. $a = 110.20(1)$, $b = 103.34(1)$, $c = 100.00(1)$, $\alpha = 110.20^\circ$, $\beta = 103.34^\circ$, $\gamma = 100.00^\circ$. $d_{10}(hkl)$: 3.09(8)(122), 2.84, 1.432, 1.433(10)(322, 124). Cleavage: $17.3/16.7, 480$, $17.1/16.5, 500$, $17.6/16.9, 600$, $17.7/17.0, 620$, $18.1/17.4$. Triclinic, space group: $P\bar{1}$. $a = 110.20(1)$, $b = 103.34(1)$, $c = 100.00(1)$, $\alpha = 110.20^\circ$, $\beta = 103.34^\circ$, $\gamma = 100.00^\circ$. $d_{10}(hkl)$: 3.09(8)(122), 2.84, 1.432, 1.433(10)(322, 124). Cleavage: $17.3/16.7, 480$, $17.1/16.5, 500$, $17.6/16.9, 600$, $17.7/17.0, 620$, $18.1/17.4$. Triclinic, space group: $P\bar{1}$. $a = 110.20(1)$, $b = 103.34(1)$, $c = 100.00(1)$, $\alpha = 110.20^\circ$, $\beta = 103.34^\circ$, $\gamma = 100.00^\circ$. $d_{10}(hkl)$: 3.09(8)(122), 2.84, 1.432, 1.433(10)(322, 124). Cleavage: $17.3/16.7, 480$, $17.1/16.5, 500$, $17.6/16.9, 600$, $17.7/17.0, 620$, $18.1/17.4$. Triclinic, space group: $P\bar{1}$. $a = 110.20(1)$, $b = 103.34(1)$, $c = 100.00(1)$, $\alpha = 110.20^\circ$, $\beta = 103.34^\circ$, $\gamma = 100.00^\circ$. $d_{10}(hkl)$: 3.09(8)(122), 2.84, 1.432, 1.433(10)(322, 124). Cleavage: $17.3/16.7, 480$, $17.1/16.5, 500$, $17.6/16.9, 600$, $17.7/17.0, 620$, $18.1/17.4$. Triclinic, space group: $P\bar{1}$. $a = 110.20(1)$, $b = 103.34(1)$, $c = 100.00(1)$, $\alpha = 110.20^\circ$, $\beta = 103.34^\circ$, $\gamma = 100.00^\circ$. $d_{10}(hkl)$: 3.09(8)(122), 2.84, 1.432, 1.433(10)(322, 124). Cleavage: $17.3/16.7, 480$, $17.1/16.5, 500$, $17.6/16.9, 600$, $17.7/17.0, 620$, $18.1/17.4$. Triclinic, space group: $P\bar{1}$. $a = 110.20(1)$, $b = 103.34(1)$, $c = 100.00(1)$, $\alpha = 110.20^\circ$, $\beta = 103.34^\circ$, $\gamma = 100.00^\circ$. $d_{10}(hkl)$: 3.09(8)(122), 2.84, 1.432, 1.433(10)(322, 124). Cleavage: $17.3/16.7, 480$, $17.1/16.5, 500$, $17.6/16.9, 600$, $17.7/17.0, 620$, $18.1/17.4$. Triclinic, space group: $P\bar{1}$. $a = 110.20(1)$, $b = 103.34(1)$, $c = 100.00(1)$, $\alpha = 110.20^\circ$, $\beta = 103.34^\circ$, $\gamma = 100.00^\circ$. $d_{10}(hkl)$: 3.09(8)(122), 2.84, 1.432, 1.433(10)(322, 124). Cleavage: $17.3/16.7, 480$, $17.1/16.5, 500$, $17.6/16.9, 600$, $17.7/17.0, 620$, $18.1/17.4$. Triclinic, space group: $P\bar{1}$. $a = 110.20(1)$, $b = 103.34(1)$, $c = 100.00(1)$, $\alpha = 110.20^\circ$, $\beta = 103.34^\circ$, $\gamma = 100.00^\circ$. $d_{10}(hkl)$: 3.09(8)(122), 2.84, 1.432, 1.433(10)(322, 124). Cleavage: $17.3/16.7, 480$, $17.1/16.5, 500$, $17.6/16.9, 600$, $17.7/17.0, 620$, $18.1/17.4$. Triclinic, space group: $P\bar{1}$. $a = 110.20(1)$, $b = 103.34(1)$, $c = 100.00(1)$, $\alpha = 110.20^\circ$, $\beta = 103.34^\circ$, $\gamma = 100.00^\circ$. $d_{10}(hkl)$: 3.09(8)(122), 2.84, 1.432, 1.433(10)(322, 124). Cleavage: $17.3/16.7, 480$, $17.1/16.5, 500$, $17.6/16.9, 600$, $17.7/17.0, 620$, $18.1/17.4$. Triclinic, space group: $P\bar{1}$. $a = 110.20(1)$, $b = 103.34(1)$, $c = 100.00(1)$, $\alpha = 110.20^\circ$, $\beta = 103.34^\circ$, $\gamma = 100.00^\circ$. $d_{10}(hkl)$: 3.09(8)(122), 2.84, 1.432, 1.433(10)(322, 124). Cleavage: $17.3/16.7, 480$, $17.1/16.5, 500$, $17.6/16.9, 600$, $17.7/17.0, 620$, $18.1/17.4$. Triclinic, space group: $P\bar{1}$. $a = 110.20(1)$, $b = 103.34(1)$, $c = 100.00(1)$, $\alpha = 110.20^\circ$, $\beta = 103.34^\circ$, $\gamma = 100.00^\circ$. $d_{10}(hkl)$: 3.09(8)(122), 2.84, 1.432, 1.433(10)(322, 124). Cleavage: $17.3/16.7, 480$, $17.1/16.5, 500$, $17.6/16.9, 600$, $17.7/17.0, 620$, $18.1/17.4$. Triclinic, space group: $P\bar{1}$. $a = 110.20(1)$, $b = 103.34(1)$, $c = 100.00(1)$, $\alpha = 110.20^\circ$, $\beta = 103.34^\circ$, $\gamma = 100.00^\circ$. $d_{10}(hkl)$: 3.09(8)(122), 2.84, 1.432, 1.433(10)(322, 124). Cleavage: $17.3/16.7, 480$, $17.1/16.5, 500$, $17.6/16.9, 600$, $17.7/17.0, 620$, $18.1/17.4$. Triclinic, space group: $P\bar{1}$. $a = 110.20(1)$, $b = 103.34(1)$, $c = 100.00(1)$, $\alpha = 110.20^\circ$, $\beta = 103.34^\circ$, $\gamma = 100.00^\circ$. $d_{10}(hkl)$: 3.09(8)(122), 2.84, 1.432, 1.433(10)(322, 124). Cleavage: $17.3/16.7, 480$, $17.1/16.5, 500$, $17.6/16.9, 600$, $17.7/17.0, 620$, $18.1/17.4$. Triclinic, space group: $P\bar{1}$. $a = 110.20(1)$, $b = 103.34(1)$, $c = 100.00(1)$, $\alpha = 110.20^\circ$, $\beta = 103.34^\circ$, $\gamma = 100.00^\circ$. $d_{10}(hkl)$: 3.09(8)(122), 2.84, 1.432, 1.433(10)(322, 124). Cleavage: $17.3/16.7, 480$, $17.1/16.5, 500$, $17.6/16.9, 600$, $17.7/17.0, 620$, $18.1/17.4$. Triclinic, space group: $P\bar{1}$. $a = 110.20(1)$, $b = 103.34(1)$, $c = 100.00(1)$, $\alpha = 110.20^\circ$, $\beta = 103.34^\circ$, $\gamma = 100.00^\circ$. $d_{10}(hkl)$: 3.09(8)(122), 2.84, 1.432, 1.433(10)(322, 124). Cleavage: $17.3/16.7, 480$, $17.1/16.5, 500$, $17.6/16.9, 600$, $17.7/17.0, 620$, $18.1/17.4$. Triclinic, space group: $P\bar{1}$. $a = 110.20(1)$, $b = 103.34(1)$, $c = 100.00(1)$, $\alpha = 110.20^\circ$, $\beta = 103.34^\circ$, $\gamma = 100.00^\circ$. $d_{10}(hkl)$: 3.09(8)(122), 2.84, 1.432, 1.433(10)(322, 124). Cleavage: $17.3/16.7, 480$, $17.1/16.5, 500$, $17.6/16.9, 600$, $17.7/17.0, 620$, $18.1/17.4$. Triclinic, space group: $P\bar{1}$. $a = 110.20(1)$, $b = 103.34(1)$, $c = 100.00(1)$, $\alpha = 110.20^\circ$, $\beta = 103.34^\circ$, $\gamma = 100.00^\circ$. $d_{10}(hkl)$: 3.09(8)(122), 2.84, 1.432, 1.433(10)(322, 124). Cleavage: $17.3/16.7, 480$, $17.1/16.5, 500$, $17.6/16.9, 600$, $17.7/17.0, 620$, $18.1/17.4$. Triclinic, space group: $P\bar{1}$. $a = 110.20(1)$, $b = 103.34(1)$, $c = 100.00(1)$, $\alpha = 110.20^\circ$, $\beta = 103.34^\circ$, $\gamma = 100.00^\circ$. $d_{10}(hkl)$: 3.09(8)(122), 2.84, 1.432, 1.433(10)(322, 124). Cleavage: $17.3/16.7, 480$, $17.1/16.5, 500$, $17.6/16.9, 600$, $17.7/17.0, 620$, $18.1/17.4$. Triclinic, space group: $P\bar{1}$. $a = 110.20(1)$, $b = 103.34(1)$, $c = 100.00(1)$, $\alpha = 110.20^\circ$, $\beta = 103.34^\circ$, $\gamma = 100.00^\circ$. $d_{10}(hkl)$: 3.09(8)(122), 2.84, 1.432, 1.433(10)(322, 124). Cleavage: $17.3/16.7, 480$, $17.1/16.5, 500$, $17.6/16.9, 600$, $17.7/17.0, 620$, $18.1/17.4$. Triclinic, space group: $P\bar{1}$. $a = 110.20(1)$, $b = 103.34(1)$, $c = 100.00(1)$, $\alpha = 110.20^\circ$, $\beta = 103.34^\circ$, <